

مطالعه تغییرات محتوی کربن آلی سازند کژدمی در یکی از میادین دشت آبادان با استفاده داده‌های زمین-شیمیایی و پتروفیزیکی

بهرام علیزاده

گروه زمین‌شناسی، دانشکده علوم زمین دانشگاه شهید چمران اهواز

حسین سعادتی

دانشجوی دکتری نفت، دانشکده علوم زمین، دانشگاه شهید چمران اهواز

جمال الدین صمصامی

مرکز پژوهشی زمین‌شناسی و زمین‌شیمی نفت دانشگاه شهید چمران اهواز

سید حسین حسینی

مرکز پژوهشی زمین‌شناسی و زمین‌شیمی نفت دانشگاه شهید چمران اهواز

احمدرضا گندمی ثانی

شرکت ملی نفت ایران، مدیریت اکتشاف و بهره‌برداری نفت

تاریخ پذیرش: ۹۳/۷/۲۰ تاریخ دریافت: ۹۳/۳/۲۷

alizadeh@scu.ac.ir

چکیده

میدان نفتی مورد مطالعه از جمله ابر میادین نفتی در حال توسعه جهان محسوب می‌شود. در این میدان سازندهای ایلام، سروک، بخش زیرین کژدمی، گدوان و فهیلیان به عنوان مخازن قابل بهره‌برداری شناخته شده‌اند. در این مطالعه سازند کژدمی با استفاده از دستگاه پیرویز راک-ایول ۶ و نمودارهای چاه‌پیمایی گاما و صوتی مورد ارزیابی قرار گرفت. نتایج این تحقیق نشان می‌دهد که از سمت شمال به جنوب شرایط محیط رسوی سازند مورد مطالعه تغییر کرده و به یک محیط پیشروندۀ و احیایی دارای توان تولید و حفاظت بالای مواد آلی تبدیل می‌شود. هم‌زمان با این تغییرات شدت پرتو لاغ گاما در مقابل لایه‌های آهکی نیز افزایش پیدا می‌کند. با تطابق داده‌های پتروفیزیکی و ژئوشیمیایی یک زون غنی از مواد آلی واقع در بخش بالای سازند کژدمی سناسایی گردید که ضخامت این زون از سمت جنوب میدان به شمال کاهش می‌یابد. همچنین نمودار تغییرات پارامتر ترکیبی پتانسیل زایش (S₁+S₂) در برابر TOC نشان می‌دهد که سازند کژدمی از لحاظ پتانسیل هیدروکربور زایی در محدوده وسیعی از ضعیف تا عالی قرار دارد و در بخش‌های جنوبی میدان نسبت به شمال میدان بالاتر است. با توجه به ضخامت زون غنی از مواد آلی در بخش بالای سازند کژدمی و لایه‌های شیلی می‌توان این سازند را به عنوان سنگ منشأ بالقوه مخزن سروک بویژه در بخش جنوبی میدان مورد مطالعه معرفی نمود.

کلمات کلیدی: پتانسیل هیدروکربورزایی، سازند کژدمی، نمودار چاه‌پیمایی گاما و صوتی

مقدمه

منشأ کژدمی در دشت آبادان انجام می‌گیرد. عموماً این نکته پذیرفته شده است که کاربردهای ژئوشیمی به طرز قابل ملاحظه‌ای درصد موفقیت را در اکتشافات نفتی افزایش می‌دهند (Bordenave, 1993). هم‌اکنون روش‌های استانداردی توسط شرکت‌های نفتی برای ارزیابی‌های ژئوشیمیایی به کار می‌رسد که یکی از مهمترین آنها روش پیرویز راک‌ایول می‌باشد (Behar et al., 2001).

لاغ‌های پتروفیزیکی به دلیل داشتن مزیت پیوستگی داده‌ها و امکان ثبت آنها در فواصل کم مورد استفاده قرار گرفته، از طرف دیگر آنالیزهای ژئوشیمیایی علی‌رغم اینکه هزینه بالا را تحمیل می‌نماید، لیکن دارای نتایج بسیار دقیق و انکارناپذیر بوده و در تفسیر نتایج نقش تعیین کننده‌ای دارند. از اولین مطالعات در این‌باره می‌توان به (Hertzog et al., 1989) و همکاران (Hertzog et al., 1989) اشاره کرد که با توجه به رابطه خطی و مستقیم موجود بین نگار گاما و کل محتوی کربن آلی، از این نگار برای شناسایی سنگ‌های غنی از مواد آلی استفاده کردند. در سال ۲۰۱۲ علیزاده و همکاران با استفاده از نمودارهای چاه‌پیمایی با بکارگیری روش‌های شبکه‌محصصی و انالیز خوش‌های رخساره‌های آلی و تاریخچه تدفین را در سازندهای کژدمی، کنگان و دلان تخمین زندند.

برای شناخت و اکتشاف یک منطقه نفتخیز لازم است نخست عناصر و فرایندهای شکل‌گیری سیستم‌های هیدروکربوری مطالعه شود. یکی از عناصر اصلی شکل‌گیری ذخیره هیدروکربوری سنگ منشأ می‌باشد. این مطالعه با هدف مشخص کردن پتانسیل هیدروکربوری سازند کژدمی به عنوان یکی از مهمترین سنگ‌های منشأ احتمالی در یکی از میدادین دشت آبادان با استفاده از داده‌های ژئوشیمیایی حاصل از آنالیز راک‌ایول و لاغ‌های پتروفیزیکی گاما و صوتی صورت گرفته است. تاکنون سازند کژدمی در برخی میدادین فروافتادگی دزفول مانند میدان نفتی رگ‌سفید به عنوان سنگ منشأ غنی معرفی شده است (علیزاده و همکاران ۱۳۸۸).

مطالعه جامعی که توسط (Bordenave and Hegre, 2010) در سیستم نفتی کرتاسه میانی تا میوسن آغازی در مناطق فروافتادگی دزفول، ناحیه فارس و خلیج‌فارس صورت گرفت، مشخص شد که سنگ‌های منشأ کژدمی و پابده در فروافتادگی دزفول مخازن کربناتی آسماری و بنگستان را تغذیه کرده‌اند. این سیستم با پوش سنگ‌های تبخیری سازند گچساران (میوسن آغازی) پوشش یافته است. ولی این مطالعه‌ای است که بر روی سنگ

میزان TOC، از دیگر پارامترهای مهمی هستند که توسط این دستگاه ارائه می‌شود (Behar et al., 2001).

بررسی‌های پتروفیزیکی

در این بخش تعداد ۵ حلقه چاه انتخاب و ستون سنگ‌شناسی و لاغ‌های صوتی و گاما توسط نرم‌افزار Corel Draw ترسیم شده است (شکل ۲).

نمودار پرتو گاما

در میان تشکیلات اصلی رادیواکتیو (شامل اشعه‌های β ، α و γ)، دو ذره β و α دارای قدرت نفوذ پایین بوده و ممکن است توسط جداره چاه متوقف شوند. درصورتیکه پرتو گاما از امواج الکترومغناطیسی پرانرژی است و مشابه پرتو X توانایی نفوذ تا حدود یک فوت در سنگ‌های رسوبی را دارد. این پرتو بطور خود به خود از عناصر رادیواکتیو ^{232}Th و ^{40}K ساطع می‌شود (Luccia, 2007). پرتو گاما ساطع شده توسط هر کدام از این عناصر دارای طیف انرژی خاصی است. از آنجا که مواد رادیواکتیو عمده‌تاً در شیل‌ها و رس‌ها متتمرکز می‌شوند، لذا در سنگ‌های رسوبی ابزار پرتو گاما بطور معمول محتوای شیل یا رس سازند را مشخص می‌کند (Schlumberger, 2004). البته باید توجه داشت که در میان این سه عنصر، اورانیوم دارای منشأ دیابتیکی است. لذا قبل از استفاده از نمودار پرتو گاما باید تشکیلات اورانیوم حذف شوند.

برای این منظور می‌توان از نمودار طیف‌نمایی پرتو گاما (Log NGS) استفاده کرد. در سنگ‌های رسوبی، نمودار پرتو گاما اساساً تا حدودی بیانگر حجم رس سازند است، چون عناصر رادیواکتیو نظری پ TASIM، توریوم و اورانیوم عمده‌تاً در رس‌ها متتمرکزند. سازندهای تمیز (عاری از رس) معمولاً یک سطح بسیار پایین از رادیواکتیو دارند، مگر اینکه دارای تاخالصی‌هایی مانند خاکستر آتش‌نشانی یا گرانیت هوازده باشند، و یا آب سازندهای حاوی این عناصر باشد. بر این اساس مقیاس استانداردی که برای اندازه‌گیری شدت پرتو گاما در نظر گرفته شده است (مقیاس API) در مقدار بیشینه (معمولاً ۱۰۰) نشانگر وجود یک شیل است و مقدار کمینه آن (<0) یک ماسه‌سنگ تمیز را نشان می‌دهد (Luccia, 2007).

لاغ صوتی

این نمودار برای اولین بار در سال ۱۹۵۴ بعنوان ابزار اندازه‌گیری تخلخل شناخته شد و در ابتدا بعنوان وسیله‌ای برای تفسیر اطلاعات اکتشافات لرزه‌ای شناخته می‌شد. این نمودار عمق را در مقابل زمان اندازه‌گیری کرده و آن مدت زمانی است که یک ضربه‌ی صوتی (Acoustic Pulse) طول یک فوت از یک سنگ را طی می‌نماید (Kamali and Mirshady, 2004). زمان عبور محاسبه شده Δt نامیده می‌شود و واحد اندازه‌گیری آن میکروثانیه بر فوت بوده و با سرعت صوت نسبت عکس دارد. لذا هرچه زمان رفت و برگشت بیشتر باشد به معنی سرعت کمتر حرکت صوت خواهد بود. سرعت موج صوتی در سنگ‌ها تابعی از لیتولوزی، تخلخل، نوع فضاهای خالی، سیال درون آنها و فشار هیدرواستاتیک این سیال است. سرعت موج صوتی برای چند لیتولوزی که در این مطالعه نیز مورد استفاده قرار گرفته‌اند در (جدول ۳) آمده است.

بحث و بررسی

به‌منظور اطمینان از عدم آغشتنی نمونه‌ها به مواد هیدروکربنی از نمودار S_1/TOC (Hunt, 1996) استفاده می‌گردد. این نمودار میان عدم آلوگی هیدروکربنی نمونه‌های مورد بررسی می‌باشد (شکل ۳)، بنابراین می‌توان نتیجه گرفت هیدروکربن موجود در نمونه‌ها از نوع برجا بوده و قابل تفسیر می‌باشند. با توجه به اینکه بخش شمالی میدان با قسمت‌های مرکزی و جنوبی از لاحاظ تولید و خواص مخزنی متفاوت می‌باشد و از طرفی دیگر به منظور بررسی دقیق‌تر میدان و مقایسه بهتر پارامترهای ژئوشیمیایی و پتروفیزیکی نتایج هر کدام از چاه‌ها بصورت مجزا ارائه می‌شود.

زمین‌شناسی و موقعیت جغرافیایی محدوده مطالعه

میدان مورد مطالعه در ناحیه دشت آبادان، در فاصله ۳۰ کیلومتری جنوب غرب میدان جفیر و ۸۰ کیلومتری غرب اهواز واقع شده است. این میدان با وسعتی حدود ۷۴۰ کیلومتر مربع و حجم نفت در جای بالغ بر ۳۳ میلیارد بشکه، یکی از ابر میدان‌های نفتی در حال توسعه جهان محسوب می‌گردد (شکل ۱). در این میدان چهار لایه سروک، بخش زیرین کردمی، گدوان و فهلهایان به عنوان مخازن قابل بهره‌برداری شناخته شده و با حفر چاه شماره ۷ این میدان، سازندهای نفتی ایلام و لایه ماسه‌سنگی آزادگان (بورگان) نیز حاوی نفت قابل تولید ارزیابی گردیده است. براساس مطالعات صورت گرفته لایه سروک عمده‌تاً نفت سنگین بوده و حدود ۸۰ درصد نفت میدان در این لایه قرار دارد (مطیعی، ۱۳۸۹). تاقدیس فوق، فاقد هر گونه رخمنون بوده، امتداد آن شمالی- جنوبی و با تاقدیس دارخوین دارای روند مشابه می‌باشد. با توجه به نقشه‌های عمقی لرزه‌ای، این تاقدیس در افق‌های بنگستان و خامی دارای بستگی می‌باشد. (تیک طبع، ۱۳۸۱). شروع لایه شیلی به رنگ قهوه‌ای خاکستری مایل به سبز بیتومینه به عنوان رأس سازند کردمی معرفی می‌گردد که در ادامه آن ضخامت قابل توجهی آهک رسی تیره قرار دارد. با وجودی که سازند کردمی در ذهن توالی از سنگ‌های رسی اعم از شیل و رس‌سنگ را تداعی می‌کند اما در این میدان عمده‌تاً از سنگ‌های آهکی نرم و قهوه‌ای و خاکستری تا سفید نیمه سخت تا سخت و بافت نوع I تا II توصیف شده است (فریدعباسعلی‌نیا، ۱۳۸۹). در بخش انتهایی سازند، بخش ماسه‌سنگ آزادگان (ماسه‌سنگ بورگان) گسترش دارد که از توالی شیل خاکستری مایل به سبز، ماسه‌سنگ‌های متوسط دانه شفاف با دانه‌بندی خوب، رس‌سنگ خاکستری و قهوه‌ای حاوی بیتومین پراکنده، مارل خاکستری و آهک دولومیتی و آهک رسی تشکیل شده است (سپهوند، ۱۳۹۰).

روش مطالعه

آنالیزهای زمین شیمیایی

جهت انجام این مطالعه تعداد ۳۶ نمونه خرده سنگ حاصل از حفاری سازند کردمی در میدان نفتی مورد مطالعه موردنالیز قرار گرفت. مقدار ۵۰ تا ۷۰ میلی‌گرم از هر نمونه تیمار و هموئیزه شده و سپس توسط دستگاه پیرولیز راکسایل ۶ موجود در مرکز پژوهشی زمین‌شناسی و زمین‌شیمی نفت دانشگاه شهرید چمران اهواز آنالیز و مقدار کل کربن آلی (TOC)، نوع کروزن، میزان بلوغ نمونه‌ها در هر چاه و پارامترهای دیگر مورد بررسی قرار گرفته است. در (جدول ۱) اطلاعات حاصل از پیرولیز راکسایل نمونه‌های برداشت شده از سازند کردمی داده شده است.

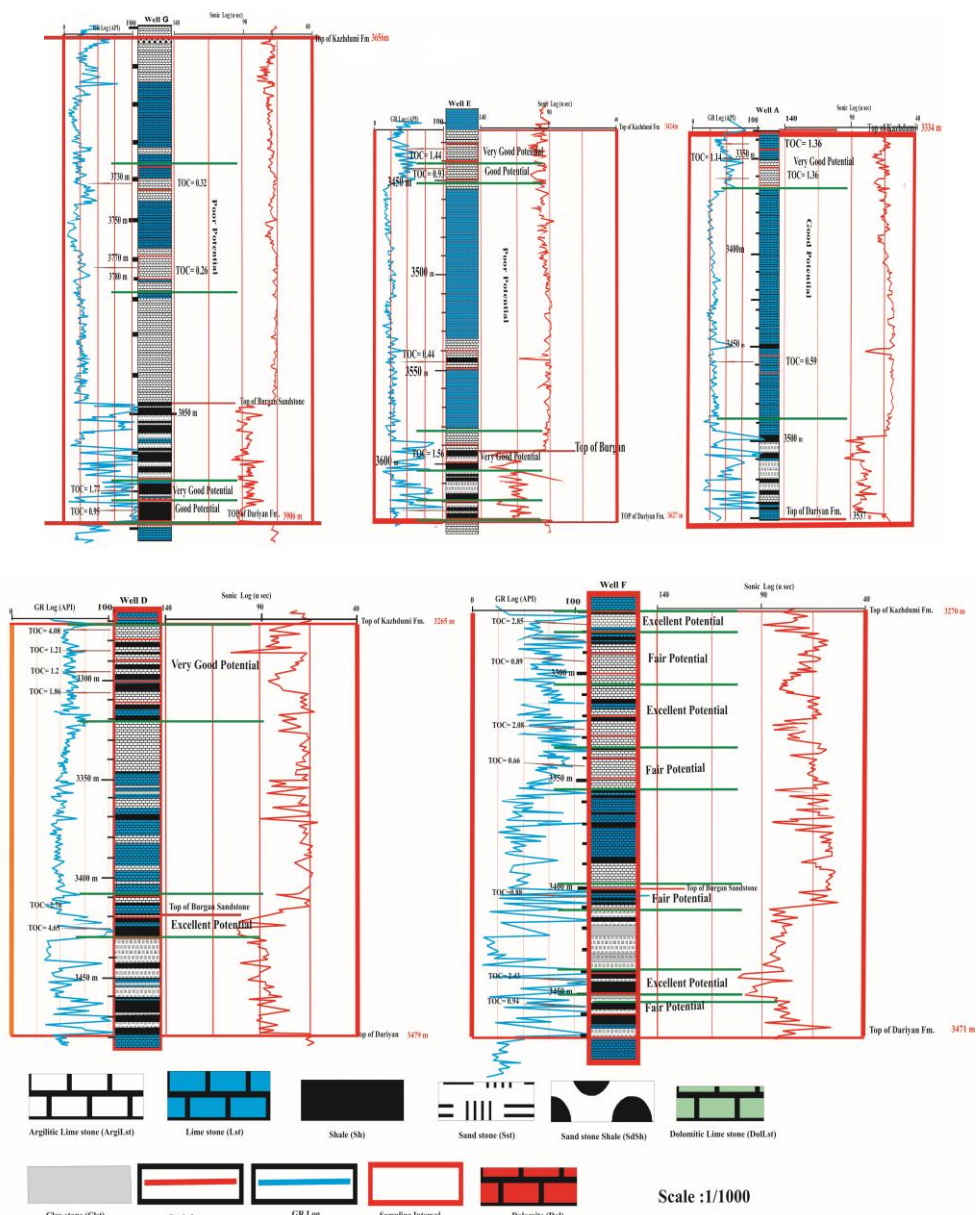
روش پیرولیز عبارت است از حرارت دادن یک نمونه سنگی در شرایط فاقد اکسیژن برای انجام واکنش‌های تجزیه حرارتی (Cracking, Peters et al., 2005; Waples, 1985)، که عملأ برای به دست آوردن پتانسیل زایشی باقیمانده در نمونه به کار گرفته می‌شود. برنامه حرارتی این روش شامل افزایش دما با نرخ ۲۵ درجه سانتیگراد در دقیقه از دمای -650°C در کوره پیرولیز و -850°C در دمای -300°C در کوره اکسیدان است. پارامترهای حاصل از این آنالیز عبارتند از پارامتر S_1 که میان هیدروکربورهای آزاد موجود در سنگاست و تا دمای 300°C درجه سانتی گراد آزاد می‌باشد، پارامتر S_2 (mg HC / g rock) سانتی گراد هیدروکربور-هایی است که در طی پیرولیز و در دمای بین -650°C درجه سانتی گراد آزاد می‌شوند و پارامتر S_3 معرف ترکیبات اکسیژن داری است (گروههای کربوکسیل)، که تا دمای 390°C درجه سانتی گراد تجزیه شده و CO_2 حاصل از تجزیه آنها آزاد گشته و به شکل بیشینه S_3 (mg CO₂ / g rock) نمایش داده می‌شود. شاخص هیدروژن (HI)، شاخص اکسیژن (OI) به همراه T_{\max} و



شكل ۱. موقعیت دشت آبادان و برخی میدان‌های موجود در آن (اقتباس از فریدعباسعلی‌نیا، ۱۳۸۹).

جدول ۱. برخی از مهمترین داده‌های حاصل از پیروز نمونه‌های سازندکردمی در میدان نفتی مورد مطالعه توسط دستگاه راک‌سایول

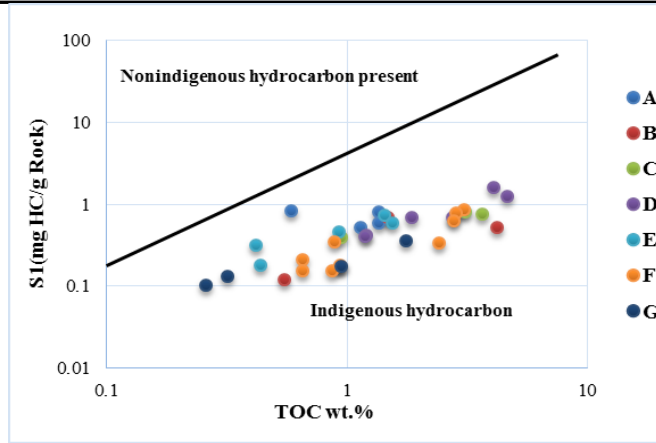
چاه	عمق (متر)	S ₁ (mg HC/gr Rock)	S ₂ (mg HC/gr Rock)	S ₃ (mg CO ₂ /gr Rock)	T _{max} (°C)	HI(mg HC/gr TOC)	OI(mg CO ₂ /gr TOC)	PI	TOC (wt. %)
A	۳۲۲۵	۰/۸	۲/۱۴	۲/۳۱	۴۲۴	۲۵۴	۱۷۰	۰/۱۴	۱/۳۶
	۳۲۴۵	۰/۱۲	۴/۸۱	۲/۲	۴۲۹	۲۷۵	۱۹۳	۰/۱۴	۱/۵۹
	۳۲۵۵	۰/۱۸	۱/۷۴	۱/۷۸	۴۲۶	۱۲۸	۱۳۱	۰/۲۵	۱/۳۶
	۳۴۵۵	۰/۸۱	۰/۶۶	۱/۰۶	۴۲۵	۱۱۲	۱۸۰	۰/۰۵	۰/۵۹
B	۳۳۹۰	۰/۶۹	۸/۴۴	۱/۰۶	۴۲۸	۵۷۰	۷۲	۰/۰۸	۱/۴۸
	۳۵۰۵	۰/۱۲	۰/۳۱	۰/۸۶	۴۲۵	۵۶	۱۵۵	۰/۲۸	۰/۵۵
	۳۵۶۰	۰/۱۱	۷/۹۴	۱/۶۳	۴۲۶	۱۸۹	۳۹	۰/۰۶	۴/۲
C	۳۴۱۰	۰/۱۹	۲/۴۲	۱/۵۴	۴۲۸	۲۵۵	۱۶۲	۰/۱۴	۰/۹۵
	۳۵۷۰	۰/۷۴	۷/۰۹	۲/۵۷	۴۳۳	۱۹۳	۷۰	۰/۰۹	۳/۶۸
	۳۵۸۰	۰/۸	۵/۶۲	۲/۰۱	۴۳۷	۱۸۰	۶۴	۰/۰۷	۳/۱۳
D	۳۲۷۰	۱/۵۶	۲۰/۴۴	۲	۴۲۵	۵۰۱	۴۹	۰/۱۲	۴/۰۸
	۳۲۸۰	۰/۴۱	۲/۹۵	۱/۹۵	۴۳۳	۲۴۴	۱۶۱	۰/۱۷	۱/۲۱
	۳۲۹۰	۰/۴	۱/۹۸	۲/۲۸	۴۳۲	۱۶۵	۱۹۰	۰/۰۹	۱/۲
	۳۳۱۰	۰/۶۹	۶/۹	۱/۸۴	۴۲۷	۳۷۱	۹۹	۰/۱۱	۱/۸۶
	۳۴۱۰	۰/۶۹	۵/۳۶	۱/۹۹	۴۳۱	۱۹۴	۷۲	۰/۱	۲/۷۶
	۳۴۲۰	۱/۲۴	۱۱/۲۷	۲/۰۱	۴۲۸	۲۴۲	۴۳	۰/۱	۴/۶۵
E	۳۴۳۰	۰/۷۳	۶/۷۱	۱/۳۲	۴۲۴	۴۶۶	۹۲	۰/۱	۱/۴۴
	۳۴۴۰	۰/۴۶	۲/۳۶	۱/۵۶	۴۳۰	۲۵۴	۱۶۸	۰/۱۶	۰/۹۳
	۳۵۴۰	۰/۱۸	۰/۵۲	۱/۱۹	۴۲۶	۱۱۸	۲۷۰	۰/۲۶	۰/۴۴
	۳۵۹۰	۰/۵۸	۲/۶۴	۱/۷	۴۳۶	۱۶۹	۱۰۹	۰/۱۸	۱/۵۶
	۳۶۲۰	۰/۳۱	۰/۶۵	۱/۳۸	۴۲۶	۱۵۵	۳۲۹	۰/۳۲	۰/۴۲
	۳۶۳۰	۰/۲۹	۰/۶۳	۱/۳۱	۴۳۰	۱۶۶	۳۴۵	۰/۳۱	۰/۳۸
F	۳۲۷۰	۰/۷۸	۱۳/۷۵	۱/۷۲	۴۲۴	۴۸۲	۶۰	۰/۰۵	۲/۸۵
	۳۲۸۰	۰/۱۷	۲/۱۶	۱/۴۵	۴۳۳	۲۳۰	۱۵۴	۰/۰۷	۰/۹۴
	۳۲۹۰	۰/۳۴	۲/۲۶	۲/۴۳	۴۳۶	۲۵۴	۲۷۳	۰/۱۳	۰/۸۹
	۳۳۲۰	۰/۶۳	۱۲/۸۶	۱/۴۶	۴۲۷	۴۵۹	۵۲	۰/۰۵	۲/۸
	۳۳۴۰	۰/۱۵	۰/۷۹	۰/۹۵	۴۳۶	۱۲۰	۱۴۴	۰/۱۶	۰/۶۶
	۳۴۰۰	۰/۱۵	۱/۴۲	۱/۱۱	۴۳۱	۱۶۳	۱۲۸	۰/۰۹	۰/۸۷
	۳۴۴۰	۰/۳۳	۷/۰۴	۰/۵۸	۴۳۱	۲۹۰	۲۴	۰/۰۴	۲/۴۳
	۳۴۵۰	۰/۱۸	۰/۹۹	۱/۳۲	۴۲۸	۱۰۵	۱۴۰	۰/۱۶	۰/۹۴
G	۳۷۲۵	۰/۱۳	۰/۶۵	۰/۸	۴۳۵	۲۰۳	۲۵۰	۰/۱۷	۰/۳۲
	۳۷۷۰	۰/۱	۰/۴۷	۰/۷۵	۴۳۵	۱۸۱	۲۸۸	۰/۱۷	۰/۲۶
	۳۸۸۵	۰/۳۵	۳/۱۱	۱/۰۷	۴۳۵	۱۷۶	۶۰	۰/۱	۱/۷۷
	۳۸۹۵	۰/۱۷	۱/۴۲	۱/۰۸	۴۳۵	۱۴۹	۱۱۴	۰/۱۱	۰/۹۵



شکل ۲. ستون چینهای همراه با نمودارهای پتروفیزیکی برای سازندگی در میدان مورد مطالعه

جدول ۲. سرعت موج صوتی در چند ماده (با تغییر از Luccia, 2007)

μs/f	نوع ماده	μs/f	نوع ماده
۶۶.۷	نمک	۴۷.۶ - ۴۳.۵	سنگ آهک
۱۶۷	شیل	۴۳.۵	دولومیت
۱۸۹	آب با ۲۰٪ نمک	۵۱	انیدریت
۲۱۸	آب خالص	۵۲.۶	ماسه سنگ متراکم
۲۳۸	نفت	۵۷	لوله حداری (استیل)



شکل ۳. منحنی تغییرات S_1 در برابر TOC به منظور اطمینان از عدم آودگی در نمونه‌های مربوط به سازند کژدمی (اقتباس از Hunt 1996)

احیایی و در یک محیط در حال پیشروی رسوب گرده، شرایط برای تشکیل و حفظ شدگی ماده آلی بالا بوده و پتانسیل هیدروکربورزایی نسبتاً خوب تا عالی بوده و حاوی کروزن نوع II می‌باشد (شکل‌های ۵، ۶ و ۷).

چاه D

این چاه در قسمت جنوب میدان قرار دارد. براساس داده‌های ژئوشیمیایی سازند کژدمی در محدوده‌ی چاه D پتانسیل هیدروکربورزایی خوب تا عالی داشته و تحت شرایط احیایی در یک محیط در حال پیشروی تهنشست یافته و حاوی کروزن نوع II می‌باشد (شکل‌های ۵، ۶ و ۷). نمونه‌برداری صورت گرفته از این محدوده از لحظه لیتولوژی شیل مخلوط با آهکرسی با حداقل کل کربن آلی (TOC = ۰.۴٪) می‌باشد. از عمق ۲۲۷۰ متری تا ۳۳۳۰ متری به ضخامت ۶۰ متر مقدار پرتو گاما بین ۴۸۱ تا ۷۸۰ درجه API و مقدار لاغ صوتی بین ۶۰ تا ۱۰۵ میکروثانیه بر فوت می‌باشد (شکل ۲)، که تغییرات لاغ‌ها (افزایش شدت پرتو گاما و زمان عبور صوت) نیز این مطلب را تایید می‌نماید. در قسمت میانی سازند از عمق ۳۳۳۰ تا ۳۴۱۰ متری تا ۳۴۱۰ متری آنالیز ژئوشیمیایی صورت نگرفته است ولی با توجه به نمونه‌های ژئوشیمیایی با محتوی TOC زیاد در بالا و پایین می‌توان گفت که دو لیتولوژی آهکی و آهکرسی به طور نسیی دارای مقادیر قابل ملاحظه‌ای مواد آلی می‌باشد، در چاه D حداقل مقدار لاغ گاما و صوتی برای لیتولوژی شیلی در محدوده شیل‌های متنابوب با ماسه‌سنگ در بخش ماسه‌سنگی بورگان مشاهده می‌شود. به طوری که حداقل مقدار پرتو گاما برای لیتولوژی شیلی در این قسمت بالای ۱۰۰ درجه API می‌باشد و نشان دهنده درصد بالای از مواد آلی می‌باشد (شکل ۲).

چاه E

این چاه در نیمه شمالی و در نزدیکی بخش مرکزی میدان قرار دارد. در این چاه بخش بالایی سازند کژدمی حدفاصل اعماق ۳۴۲۵ تا ۳۴۵۵ متری داده‌های ژئوشیمیایی نشان می‌دهد علی‌رغم اینکه سازند کژدمی اکثراً در شرایط پسروندۀ با محیطی دارای مواد آلی قاره‌ای و دریایی رسوبگذاری گردد لیکن به دلیل شرایط احیایی مواد آلی حفظ شده و دارای پتانسیل هیدروکربورزایی عالی هستند (شکل‌های ۶ و ۷). مقادیر پرتو گاما بین ۲۵-۷۰ درجه API و سرعت صوت بین ۹۰-۱۰۵ میکروثانیه بر فوت را نشان دهنده محدوده با محتوی کربن آلی بالا می‌باشد و نتایج حاصل از داده‌های ژئوشیمیایی توسط داده‌های پتروفیزیکی تایید می‌شود. مقدار لاغ‌های گاما و صوتی در بخش آهکی این چاه (۰-۳۵۹۰ متری) تا رسیدن به ماسه‌سنگ بورگان به ترتیب بین ۱۵-۳۰ درجه API و ۹۰-۱۰۵ میکروثانیه بر فوت می-

A چاه

این چاه تقریباً در مرکز میدان نفتی مورد مطالعه قرار دارد. بر اساس داده‌های ژئوشیمیایی، سازند کژدمی در چاه A حدفاصل اعماق ۳۳۴۰-۳۳۷۰ متری دارای پتانسیل هیدروکربورزایی خوب می‌باشد (شکل ۴)، پتانسیل خوب به یک محیط پیشرونده با شرایط احیایی و کروزن نوع II و قابلیت بالای حفظ و تولید مواد آلی اشاره دارد که نمودارهای جونز ۱۹۸۷ و TOC در برابر HI نیز مویداین مطلب هستند (شکل‌های ۵، ۶ و ۷). نمونه‌برداری صورت گرفته از این محدوده از لحظه سنگ‌شناسی، شیل مخلوط با آهک و آهکرسی با حداقل محتوی کل کربن آلی ($TOC = ۱/۳۶$) می‌باشد. مقدار نمودارهای پتروفیزیکی در این اعماق برای لاغ گاما بین ۲۸ تا ۸۰ درجه API و برای لاغ صوتی بین ۶۰ تا ۷۲ میکروثانیه بر فوت است که بیانگر یک زون غنی از مواد آلی و دارای پتانسیل تولیدی مناسبی می‌باشد و تأیید‌کننده داده‌های ژئوشیمیایی می‌باشد. در ادامه تا عمق ۳۵۰۰ متری دو نمودار گاما و صوتی قسمت‌های آهکی را با یک روند تقریباً یکنواخت و مقدار پرتو گاما ۳۰ - ۲۰ درجه API و سرعت صوت ۵۵-۶۵ میکروثانیه بر فوت طی می‌کنند. مقدار پایین لاغ گاما در مقابل لیتولوژی آهکی در عمق حدود ۳۳۷۰ - ۳۵۰۰ کم بودن مقدار مواد آلی رانشان می‌دهد. داده‌های ژئوشیمیایی در این محدوده بیانگر محیط پسروندۀ مجاور مناطق قاره‌ای و مقادیر بالای شاخص اکسیژن با محتویات پایین مواد آلی به علت تولید یا تجزیه آنها محتوی کروزن نوع III را معرفی می‌کند (شکل‌های ۵، ۶ و ۷) که تأیید‌کننده داده‌های پتروفیزیکی می‌باشد. در بخش ماسه‌سنگی بورگان که در تناوب با شیل است مقدار پرتو گاما از ۷۵ تا بالای ۱۰۰ درجه API و برای لاغ صوتی ۱۰۰ - ۷۵ میکروثانیه بر فوت در لایه‌های شیلی تغییر می‌کند و نشان دهنده بالا بودن میزان مواد آلی در بخش‌های شیلی در این محدوده است.

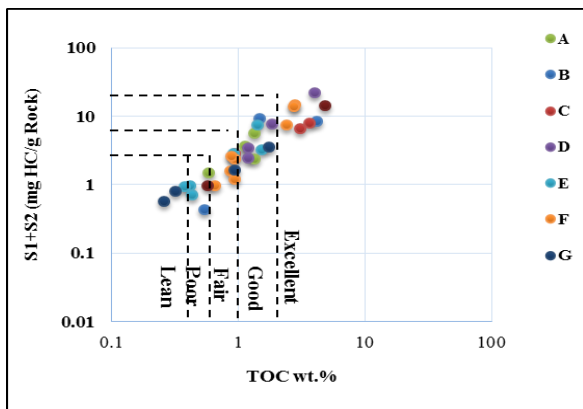
B چاه

این چاه تقریباً در قسمت مرکز و متمایل به سمت جنوب میدان قرار دارد. براساس داده‌های ژئوشیمیایی سازند کژدمی در محدوده‌ی چاه B با وجود اینکه در شرایط کاملاً متفاوتی از پسروی و پیشروی و محیط‌های احیایی تا مجاور قاره‌ای اکسیدان رسوبگذاری گردد، احتمالاً بدليل رسوبگذاری سریع، محتوی کربن آلی (TOC) آن حفظ شده و پتانسیل هیدروکربورزایی خوب تا بسیار خوب داشته و حاوی کروزن‌های نوع III و II می‌باشد (شکل‌های ۵، ۶ و ۷).

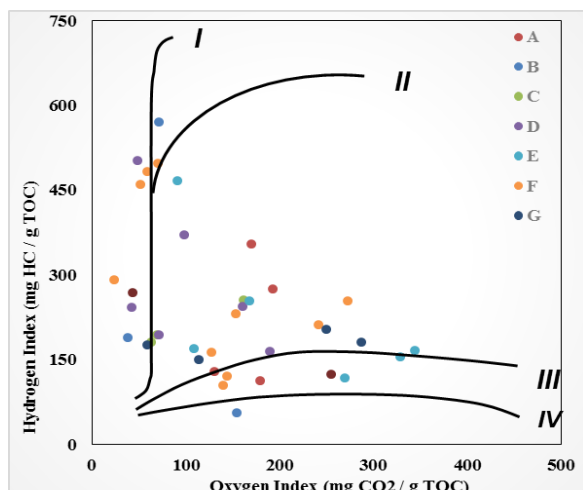
C چاه

این چاه در قسمت شمال‌غربی میدان قرار دارد. براساس داده‌های ژئوشیمیایی، سازند کژدمی در محدوده‌ی چاه C به علت اینکه تحت شرایط

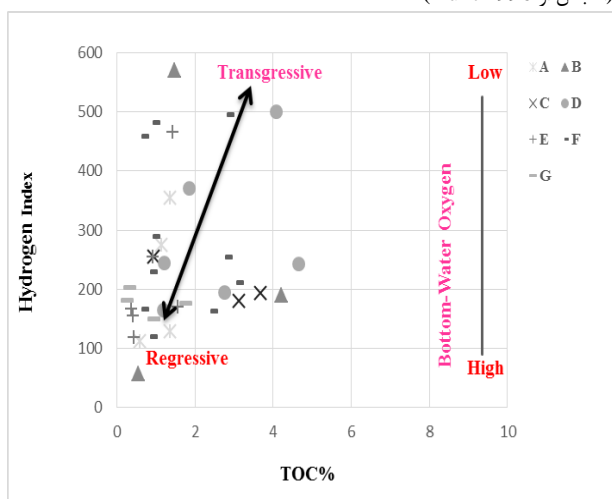
براساس انطباق داده‌های پتروفیزیکی و ژئوشیمیایی دو لیتوولوژی مذکور سنگ منشأ ضعیفی در این چاه محسوب می‌شوند. در محدوده ماسه‌سنگ بورگان برای شیل‌های متناوب با ماسه‌سنگ حداکثر مقدار لاغ‌های گاما و صوتی به ترتیب به بالای ۱۰۰ درجه API و ۱۰۰ میکروثانیه بر فوت می‌رسد. در محدوده‌ی این چاه سازند کردمی پتانسیل هیدروکربورزایی کمتری نسبت به بقیه قسمت‌های میدان دارد (شکل ۲).



شکل ۴. نمودار تغییرات $S_1 + S_2$ در برابر TOC به منظور ارزیابی پتانسیل ژنتیکی سازند کردمی (اقتباس از Huang et al., 2003).



شکل ۵. نمودار تغییرات HI در برابر OI جهت تعیین نوع کروزن سازند کردمی (Hunt 1996) (اقتباس از Hunt 1996)



شکل ۶. نمودار HI در برابر OI برای مطالعه شرایط محیط رسوبگذاری سازند کردمی (اقتباس از Dean et al 1986).

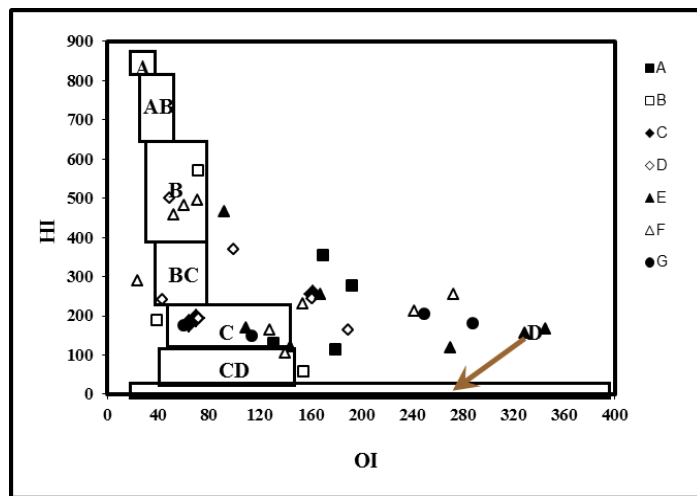
باشد و روند تقریباً یکواختی را طی می‌کند و این میزان به محتوی نسبتاً پایین مواد آلی (TOC = ۰٪/۴۴) در این محدوده اشاره دارد. با توجه به اینکه سازند کردمی در این محدوده تحت شرایط پسروند و در ارتباط با محیط قاره‌ای قرار دارد و احتمالاً مقادیر بالای شاخص اکسیژن (OI بالای ۳۰۰) نمونه‌های مورد بررسی نیز حکایت از این امر دارد که شرایط برای تولید و یا حفظ مواد آلی محیا نبوده است. در بخش ماسه‌سنگی بورگان و در شیل‌های متناوب با ماسه‌سنگ (۳۶۳۰-۳۵۹۰ متری) مقدار لاغ‌های گاما و صوتی به ترتیب بین ۲۵-۱۰۰ درجه API و ۹۰-۱۳۵ میکروثانیه بر فوت می‌باشد (شکل ۲).

چاه

این چاه در جنوبی‌ترین بخش میدان نفتی مورد مطالعه قرار دارد. در عمق ۳۲۷۰-۳۲۸۰ متری به علت محتوی کل کربن آلی بالا (TOC = ۰٪/۸۵) حداکثر مقدار پرتو گامای بالای API و سرعت صوت ۱۰۰ میکروثانیه بر فوت و در عمق ۳۳۲۵-۳۳۳۰ متری (TOC = ۰٪/۸) حداکثر مقدار پرتو گامای بالای API و سرعت صوت ۸۰ میکروثانیه بر فوت می‌باشد. داده‌های ژئوشیمیایی سازند کردمی در این دو محدوده پتانسیل هیدروکربورزایی عالی را نشان داده (شکل ۴) و تأیید کننده داده‌های پتروفیزیکی می‌باشند، همچنین بر اساس نمودار جونز و OI در برابر HI در این محدوده‌ها سازند کردمی در یک محیط نسبتاً احیایی در حال پیشروی با محتوی کروزن نوع II نشست یافته است (شکل‌های ۵ و ۷) که باعث حفظ و تشکیل مواد آلی گشته است. در سایر بخش‌های این سازند تا رسیدن به بخش ماسه‌سنگی بورگان کل کربن آلی TOC = ۰٪/۸۹ می‌باشد. در این محدوده‌ها با اینکه محیط رسوبی حالت احیایی داشته ولی احتمالاً سرعت رسوبگذاری متوسط با تولید و حفاظت کم همچنین حالت پسروی احتمالاً باعث عدم حفظ کامل یا تولید مواد آلی شده است. مقدار پرتو گاما در این قسمت بین ۲۵ تا ۱۰۰ درجه API و سرعت صوت بین ۸۰ تا ۱۰۰ میکروثانیه بر فوت می‌باشد. در این چاه برخلاف سایر چاه‌ها مقدار نسبتاً بالای پرتو گاما در مقابل لیتوولوژیکی آهک رسی وجود دارد (حداکثر مقدار پرتو گاما گاهی به ۹۰ درجه API می‌رسد) ولی داده‌های راک‌سایلز محدوده‌های نمونه‌برداری شده مقادیر کمتری از محتوی کل کربن آلی را نشان می‌دهد (TOC = ۰٪/۶۶). با توجه به اینکه در ستون چینه‌شناسی این چاه رس، متناوب با سایر لیتوولوژی‌ها یافت می‌شود و همچنین به صورت ناخالصی هم با آهک یافت می‌شود می‌توان این مقدار از پرتو گاما را به کانی‌های رسی نسبت داد. به این ترتیب مشاهده می‌شود که داده‌های ژئوشیمیایی در بعضی قسمت‌های این چاه داده‌های پتروفیزیکی را تأیید، و در برخی قسمت‌ها (جاهای با محتوی ماده آلی پایین و شدت گامای بالا) تصحیح می‌کنند.

چاه

این چاه در شمالی‌ترین بخش میدان نفتی آزادگان قرار دارد. براساس داده‌های ژئوشیمیایی سازند کردمی در محدوده‌ی چاه G با اینکه حاوی کروزن نوع II بوده و در یک محیط احیایی با سرعت رسوبگذاری متوسط ته نشست یافته است (شکل‌های ۶ و ۷). لیکن احتمالاً سرعت نه چندان زیاد رسوبگذاری هماه با شرایط پسروند و شاخص اکسیژن بالا مانع از حفظ کامل مواد آلی گشته و باعث شده پتانسیل هیدروکربورزایی ضعیفنا نسبتاً خوب داشته باشد (شکل ۵). در محدوده هر دو لیتوولوژی آهکی و آهکی رسی در برداری شده تا قبل از رسیدن به ماسه‌سنگ بورگان تقریباً حداکثر مقدار کل کربن آلی ۰٪/۳۲ می‌باشد. مقادیر لاغ‌های گاما و صوتی در دو لیتوولوژی مذکور به ترتیب بین ۱۰-۵ درجه API و ۶۵-۷۸ میکروثانیه بر فوت نشان از فراوانی نسبتاً کم مواد آلی بوده و نتایج داده‌های پتروفیزیکی را تأیید می‌کند.



شکل ۷. نمودار جونز (شاخص هیدزوژن در برابر شاخص اکسیژن) برای تعیین رخساره آلی سازند کردمی (Jones, 1987). ویژگی‌های محدوده‌های مشخص شده عبارتند از: A= محیط دریاچه‌ای شدیداً احیایی، AB= محیط‌های دریایی پیشرونده احیایی، B= محیط‌های دریایی دارای مواد آلی دریایی و قاره‌ای و رسوبگذاری سریع در شرایط نسبتاً اکسیدان، C= محیط‌هایی با سرعت رسوبگذاری متوسط در شرایط احیایی، CD= محیط‌هایی عمق در مجاورت نقاط کوهزایی، D= محیط‌های قاره‌ای شدیداً اکسیدان.

در چاه شماره E به ۳۰ متر کاهش می‌یابد و در چاه G واقع در شمالی-ترین بخش میدان ناپدید می‌شود.
۵. با توجه به اینکه نمونه‌ها با فواصل ۱۰ متری گرفته شده‌اند و مخلوط-شدگی شیل و آهک وجود دارد مقدار TOC واقعی را برای شیل‌ها نشان نداده ولی در مجموعه‌های راک - ایول در بخش‌های شیلی در اغلب قسمت‌های میدان TOC بالا ولی در بخش‌های آهکرسی و آهکی در برخی قسمتها مقدار TOC پایینی را نشان می‌دهند. نتایج حاصل از داده‌های پتروفیزیکی نیز مطلب فوق را تأیید می‌کند.
۶. با توجه به ضخامت لایه‌های غنی از مواد آلی واقع در بخش بالایی سازند کردمی و لایه‌های شیلی (بین ۳۶ متر در شمال تا ۴۹/۵ متر در جنوب میدان)، سازند کردمی در میدان نفتی آزادگان به عنوان سنگ منشأ احتمالی معرفی شده و مبرهن است که در قسمت جنوبی میدان نسبت به قسمت شمالی آن دارای پتانسیل بیشتری بعنوان سنگ منشأ است.

تشکر و قدردانی

نویسنده‌گان مقاله بر خود لازم می‌دانند که از مدیریت اکتشاف شرکت ملی نفت ایران به منظور تأمین بودجه لازم برای این تحقیق، دانشگاه شهید چمران اهواز و مرکز پژوهشی زمین‌شناسی و زمین‌شیمی نفت دانشگاه شهید چمران جهت تأمین امکانات آزمایشگاهی تشکر و قدردانی نمایند.

نتیجه‌گیری

اطلاعات حاصل از آنالیزهای زمین شیمیایی و پتروفیزیکی نتایج ذیل را بدست می‌دهند:

- براساس نتایج حاصل از آنالیز راک - ایول سازند کردمی در میدان نفتی مورد مطالعه پتانسیل هیدروکربورزایی ضعیف تا عالی دارد و از شمال میدان به سمت جنوب بر میزان محتوای مواد آلی و در نتیجه پتانسیل هیدروکربورزایی افزوده می‌شود.
- بیشترین شدت پرتو گاما در بخش‌های شیلی می‌باشد و در بخش‌های آهکی لاغ گاما شدت کمتری را نسبت به لایه‌های شیلی نشان می‌دهد و نشان دهنده کمتر بودن میزان مواد آلی در اکثر قسمت‌های لیتلولوژی آهکی است.
- براساس داده‌های پتروفیزیکی شدت پرتو گاما در مناطق جنوبی میدان بیشتر از بخش‌های شمالی می‌باشد که مؤید داده‌های ژئوشیمیایی می‌باشد.
- بطور کلی در بخش بالایی سازند کردمی یک زون غنی از مواد آلی با پتانسیل تولید هیدروکربور مناسب وجود دارد که ضخامت آن از جنوب میدان به سمت شمال کاهش پیدا می‌کند بطوریکه ضخامت این رون غنی از مواد آلی در چاه D در جنوب میدان ۶۰ متر و در شمال میدان

منابع

- سپهوند، س.، ۱۳۹۰. گزارش تکمیلی زمین شناسی چاه شماره ۱۰ میدان آزادگان، اداره کل زمین شناسی مدیریت اکتشاف شرکت ملی نفت ایران.
فریدبعسلی نیا، م.، ۱۳۸۹. گزارش تکمیلی زمین شناسی چاه شماره ۷ میدان آزادگان، اداره کل زمین شناسی مدیریت اکتشاف شرکت ملی نفت ایران.
علیزاده، ب؛ جانبار، م؛ شایسته، م؛ حسینی، ح.، ۱۳۸۸. مطالعه ژئوشیمیایی و تأثیر کانی ماتریکس بر پتانسیل سنگ‌های منشأ احتمالی هنگام پیروزی در میدان نفتی رگ-سفید، جنوب غرب ایران. مجله علمی پژوهش‌های چینه‌نگاری و رسوب‌شناسی، دانشگاه اصفهان شماره ۳۶، ص ۱۶-۱.
- مطیعی، م.، ۱۳۸۹. مقدمه‌ای بر ارزیابی مخازن نفتی زاگرس (برای زمین‌شناسان)، چاپ اول. انتشارات ایران زمین. جلد دوم. صفحه ۶۸۱.
- نیک طبع، م. ر.، ۱۳۸۱. گزارش تکمیلی زمین شناسی چاه شماره ۵ میدان آزادگان، اداره کل زمین شناسی مدیریت اکتشاف شرکت ملی نفت ایران.
- Alizadeh, B., Najjari, S., Kadkhodaie-Ikhchi, A., 2012, Artificial neural network modeling and cluster analysis for organic facies and burial history estimation using well log data: A case study of the South Pars Gas Field, Persian Gulf, Iran, Computers and Geosciences, v. 45, pp 261-269.
- Behar, F., Beaumont, V., Penteado, B., 2001, Rock-Eval 6 Technology: Performances and Developments, Oil and Gas Science and Technology-Rev. IFB, v. 56, pp.111-134.

- Bordenave. M. L., Hegre. J. A., 2010, Current distribution of oil and gas fields in the Zagros Fold Belt of Iran and contiguous offshore as the result of the petroleum systems. In: P. Leturmy, C. Robin, (Eds.), Tectonic and Stratigraphic Evolution of Zagros and Makran during the Mesozoic–Cenozoic, Geological Society, London, Special Publications, v. 330, p:291-353.
- Bordenave. M.L., 1993, Applied Petroleum Geochemistry. Paris: Editions technip, p: 524.
- Dean. W.E., Arthur. M. A., and Claypool. G.E, 1986. Depletion of ^{13}C in Cretaceous marine organic matter: Source, diagenetic, or environmental signal, Marine Geology, v.70, pp. 119-154.
- Huang. B., Xiao. X. and Zhang. M., 2003. Geochemistry, grouping and origins of crude oils in the western Pearl River Mouth Basin, Offshore South China Sea. J. of Organic Geochemistry, v.34, p: 993-1008.
- Hunt. J.M., 1996. Petroleum Geochemistry and Geology. 2nd Edition. W.H. Freeman and Company, New York. P: 743
- Jones, R.W., 1987. Organic Facies. In: Brooks, J., Welte, D. (Eds.), Advances in Petroleum
- Kamali. M.R., Mirshady. A. A., 2004. Total organic carbon content determined from well logs using $\Delta\text{Log R}$ and Neuro Fuzzy techniques, Journal of Petroleum Science and Engineering 45, p:141– 148.
- Luccia. F.J., 2007, Carbonate Reservoir Characterization, 2nd Edition, Springer Publications, p: 336.
- Peters. K. E., Clifford. C. E. and Moldowan. J. M., 2005. The Biomarker Guide. 2nd ed. Prentice Hall, New Jersey.
- Schlumberger., 2004. Log interpretation principles/application, Schlumberger educational services.
- Waples. D.W., 1985, Geochemistryin Petroleum Exploration. Reidel Publish. Cy., Dordrecht, p:232.
- Hertzog. R., Colson. L., Seeman. B., O'Brian. M., Scott. H., McKeon. D., Wright. P., Grau. J., Schweitzer. J.and Herron. M., 1989. Geochemical logging with spectrometry tools. Society of Petroleum Engineers Formation Evaluation, v.4, p: 153– 162.